



DOI:10.3872/j.issn.1007-385x.2022.04.008

· 临床研究 ·

hsa_circ_0087378在食管鳞状细胞癌组织中的表达及其对患者预后的影响

朱永刚^{a,b},王明博^b,孟令娇^a,单保恩^a(河北医科大学第四医院 a. 科研中心;b. 胸外科,河北 石家庄 050011)

[摘要] 目的:探讨 hsa_circ_0087378 在食管鳞状细胞癌(ESCC)组织中的表达及其对 ESCC 患者临床病理指标及预后的影响。方法:通过 GEO 数据库筛选 ESCC 组织及相应癌旁组织中差异表达的 circRNA,采用 qPCR 法在 10 例 ESCC 组织及相应癌旁组织中进行验证。选取河北医科大学第四医院 2015 年 10 月至 2016 年 4 月收治的 90 例 ESCC 患者癌组织及配对癌旁组织标本,通过 FISH 法检测 hsa_circ_0087378 的表达,分析其表达与 ESCC 患者临床病理指标及预后的关系。结果:GEO 数据库及 qPCR 分析结果显示,hsa_circ_0087378 在 ESCC 组织中表达最明显。FISH 结果显示,90 例癌旁组织中 21 例 hsa_circ_0087378 呈高表达,高表达率为 23.3%;90 例 ESCC 组织中有 65 例 hsa_circ_0087378 呈高表达,高表达率为 72.2%,癌组织中表达明显高于癌旁组织($P<0.05$)。hsa_circ_0087378 在 ESCC 组织中的高表达与患者的临床分期和淋巴结转移有关联($P<0.05$),hsa_circ_0087378 高表达组 ESCC 患者的 5 年总生存率明显低于低表达组患者($P<0.05$)。结论:hsa_circ_0087378 在 ESCC 组织中呈高表达,且与患者的临床分期与淋巴结转移和预后不良有关,其可能是 ESCC 的治疗靶点。

[关键词] 食管鳞状细胞癌;环状 RNA;hsa_circ_0087378;预后

[中图分类号] R735.1; R730.2; R730.7 **[文献标识码]** A **[文章编号]** 1007-385x(2022)04-0327-05

Expression of hsa_circ_0087378 in esophageal squamous cell carcinoma tissues and its effect of prognosis of patients

ZHU Yonggang^{a,b}, WANG Mingbo^b, MENG Lingjiao^a, SHAN Baoen^a (a. Research Center; b. Thoracic Surgery, the Fourth Hospital of Hebei Medical University, Shijiazhuang 050011, Hebei, China)

[Abstract] Objective: To investigate the expression of hsa_circ_0087378 in esophageal squamous cell carcinoma (ESCC) tissues, and its effect on the clinicopathological characteristics and prognosis of ESCC patients. Methods: The differentially expressed circRNAs between ESCC tissues and corresponding para-cancerous tissues were screened by GEO database, which were then validated in 10 pairs of ESCC tissues and corresponding para-cancerous tissues by qPCR method. 90 pairs of cancer tissues and corresponding para-cancerous tissues resected from ESCC patients who admitted to the Fourth Hospital of Hebei Medical University from October 2015 to April 2016 were collected to detect the expression of hsa_circ_0087378 by FISH method, and the relationship between the expression of hsa_circ_0087378 and the clinicopathological indicators and prognosis of ESCC patients were also analyzed. Results: GEO database and qPCR analysis results showed that hsa_circ_0087378 was significantly up-regulated in ESCC tissues. FISH results showed that hsa_circ_0087378 were highly expressed in 21 (23.3%) of 90 cases of para-cancerous tissues, but in 65 (72.2%) of 90 cases of ESCC tissues. The hsa_circ_0087378 over-expression rate in ESCC tissues was significantly higher than that in para-cancerous tissues ($P<0.05$). The high expression of hsa_circ_0087378 in ESCC tissues was related to the clinical stage and lymph node metastasis of ESCC patients ($P<0.05$). The 5-year overall survival rate of patients with high hsa_circ_0087378 expression was significantly lower than that in patients with low hsa_circ_0087378 expression ($P<0.05$). Conclusion: hsa_circ_0087378 is highly expressed in ESCC tissues and positively correlated with the clinical stage, lymph node metastasis, and poor prognosis of patients, suggesting that hsa_circ_0087378 can be used as a potential therapeutic target for ESCC.

[Key words] esophageal squamous cell cancer (ESCC); circRNA; hsa_circ_0087378; prognosis

[Chin J Cancer Bioter, 2022, 29(4): 327-331. DOI:10.3872/j.issn.1007-385x.2022.04.008]

食管癌是全球第七大常见的恶性肿瘤,也是全球癌症相关死亡的第六大原因^[1]。食管鳞状细胞癌(esophageal squamous cell carcinoma, ESCC)是中国人群食管癌的主要组织学类型^[2]。尽管近年来关于ESCC的治疗方案已有很大改进,但患者的5年生存率仍不理想^[3]。环状 RNA(circular RNA, circRNA)是

近年来发现的一类由共价键形成的闭合环状 RNA^[4-5]。由于缺乏 Poly A 尾,circRNA 与其相应的线

[基金项目] 河北省卫健委科研基金资助项目(No.20210074)

[作者简介] 朱永刚(1976—),男,硕士,主治医师,主要从事胸部恶性肿瘤治疗的研究,E-mail:zyghbyd@163.com

[通信作者] 单保恩,E-mail:baoenshan@hotmail.com

性 RNA 相比具有高度稳定性^[6-7]。越来越多的研究结果^[8-12]表明, circRNA 在人类细胞中广泛表达并参与包括肿瘤在内的许多疾病的发生发展。本课题分析了 GEO 数据库中 ESCC 和癌旁组织差异表达的 circRNA, 并采用 qPCR 法在中国人 ESCC 组织标本中进行验证, 采用 FISH 法在 90 例 ESCC 组织及癌旁组织中对筛选到的 hsa_circ_0087378 进行检测, 分析其表达与 ESCC 患者临床病理指标和预后的关系, 为寻找 ESCC 的治疗靶点提供实验依据。

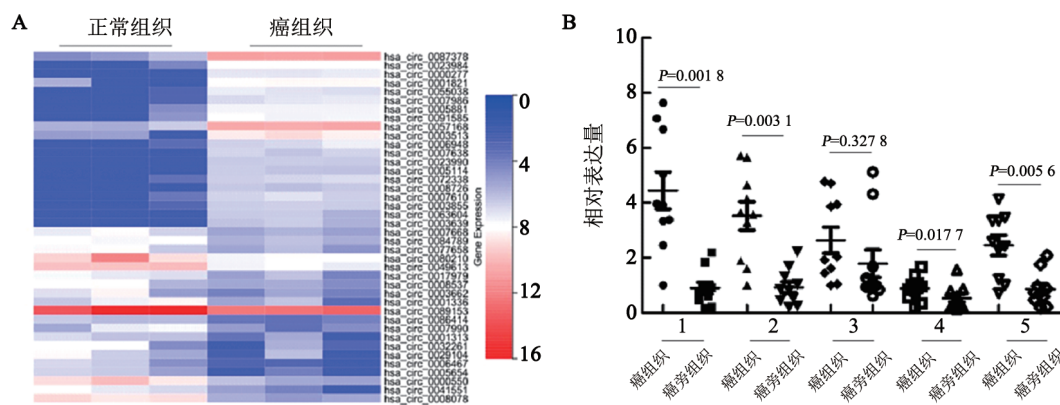
1 资料与方法

1.1 临床资料

10 对经过病理验证的 ESCC 及癌旁组织新鲜标本取自 2020 年 12 月在河北医科大学第四医院行手术治疗的 ESCC 患者; 进行 FISH 检测的组织样本取自于 2015 年 10 月至 2016 年 4 月在河北医科大学第四医院行手术治疗的 90 例 ESCC 患者。所有癌组织标本均经病理学检查证实为 ESCC, 且患者术前未行放疗、化疗。研究方案征得医院伦理委员会批准(2020ky357), 入组患者或其家属均签署知情同意书。

1.2 qPCR 法检测ESCC组织中 hsa_circ_0087378 的表达

采用 TRIzol 试剂提取组织的总 RNA, 根据反转录试剂盒(购自 Promega 公司)说明书将提取的总 RNA 反转录为 cDNA, 然后使用 GoTaq® qPCR Master Mix(购自 Promega 公司)进行 qPCR 检测, 所用引物序列: U6 上游为 5'-CTCGCTTCGGCAGCAC-3', 下游为 5'-AACGCTTCACGAATTGCGT-3'; hsa_circ_0087378 上游为 5'-CTGTGGTGGTGATTGCGTCT-3', 下游为 5'-ATGTCATTGCTGCAGTTCC-3'。qPCR 反应条件: 预变性 95 °C 5 min; 95 °C 15 s, 58 °C 30 s, 72 °C 30 s, 共 40 个循环; 72 °C 延伸 10 min。以 U6 为内参基因, 采用 $2^{-\Delta\Delta CT}$ 法计算 hsa_circ_0087378 的相对表达量。



1: hsa_circ_0087378; 2: hsa_circ_0023984; 3: hsa_circ_0000277; 4: hsa_circ_0001821; 5: hsa_circ_0055038

A: GEO 数据库 GSE131969 数据集中 circ RNA 在 ESCC 组织及相应的癌旁组织中的差异表达;

B: 通过 qPCR 法验证 circRNA 在 10 对 ESCC 组织及相应的癌旁组织中的差异表达

1.3 FISH 法检测ESCC 组织中 hsa_circ_0087387 的表达

组织切片经脱蜡入水后用 PBS 冲洗, 加入预热的蛋白酶 K 溶液 37 °C 处理 20 min, PBS 冲洗, 加入封闭液 37 °C 处理 1 h, 加入生物素标记的针对 hsa_circ_0087378 环化剪接点的特异性探针(序列为 5'-TAATTTGGGTTGCACCTTCATGC-3')在 37 °C 下杂交过夜。次日, 使用缓冲液洗脱非特异性结合位点, 使用 Cy5 标记的链霉亲和素(ZyMAXTM Grade, Invitrogen 公司)检测荧光信号。DAPI 复染 10 min, 封片后采用 LSM 900 共聚焦显微镜(Zeiss 公司)捕获图像。

1.4 统计学处理

采用 SPSS 22.0 统计软件分析。符合正态分布的计量资料以 $\bar{x} \pm s$ 表示, 采用 t 检验分析 circRNA 在组织中的表达情况。计数资料以率表示, 采用卡方检验分析 hsa_circ_0087378 的表达与临床病理学指标之间的关系。通过 Kaplan-Meier 方法评估患者的总体生存率, 通过 Log-Rank 检验比较各组之间的差异, 以 $P < 0.05$ 或 $P < 0.01$ 表示差异有统计学意义。

2 结果

2.1 ESCC 组织中 hsa_circ_0087378 表达升高最为显著

从 GEO 数据库中查找 ESCC 及癌旁组织的 circRNA 芯片数据集 GSE131969, 以 $|\log_2(\text{FC})| \geq 1$ 和 $P < 0.05$ 为标准, 共筛选得到 602 个在 ESCC 中上调的 circRNA, 89 个下调的 circRNA。图 1A 为上调及下调倍数居高端的 20 个 circRNA 的差异表达图。选取 10 对 ESCC 组织及相应癌旁组织, 采用 qPCR 法对数据库中筛查到的呈高上调前 5 位的 circRNA 进行验证, 结果显示, hsa_circ_0087378、hsa_circ_0023984、hsa_circ_0000277、hsa_circ_0055038 在 ESCC 组织中呈高表达, 其中 hsa_circ_0087378 的表达水平最高($P < 0.01$; 图 1B)。

图 1 ESCC 组织和相应癌旁组织中差异表达的 circRNA



2.2 hsa_circ_0087378在ESCC组织中呈高表达

FISH检测结果(图2)显示,90例癌旁组织中,21例hsa_circ_0087378呈高表达,高表达率为23.3%(21/95);90例ESCC组织中,有65例hsa_circ_

0087378呈高表达,高表达率为72.2%(65/95),结果表明,ESCC组织中has_circ_0087387表达水平明显高于癌旁组织($P<0.05$)。

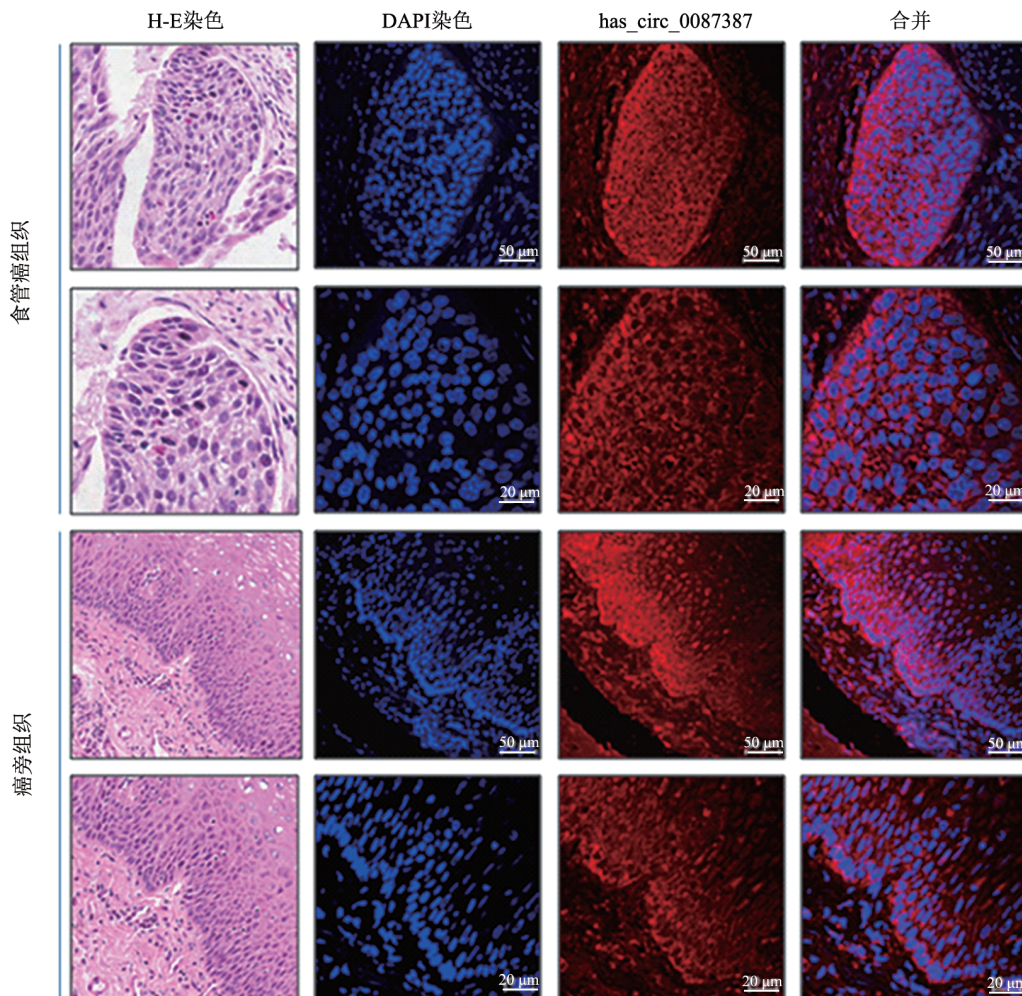


图2 FISH法检测ESCC组织和癌旁组织中hsa_circ_0087378的表达

2.3 ESCC组织中hsa_circ_0087378表达与ESCC患者临床指标的关系

分析ESCC组织中has_circ_0087387表达与患者临床指标的关系,结果(表1)显示,hsa_circ_0087378的高表达与临床分期和淋巴结转移具有明显关联(均 $P<0.05$)。

2.4 hsa_circ_0087378高表达的ESCC患者预后较差
生存分析结果(图3)显示,hsa_circ_0087378高表达组的ESCC患者5年总生存率明显低于低表达组患者($P=0.005$),提示hsa_circ_0087378可能是ESCC患者预后不良的重要指标。

3 讨论

近年来,越来越多的研究表明,circRNA在食管癌的发展中起着至关重要的作用,有望成为食管癌

早期诊断、预后判断的分子标志物及治疗靶点^[13-16]。例如,hsa_circ_0000277可以通过抑制miR-4766-5p的功能,从而上调层粘连蛋白α1(laminin alpha 1,LAMA1),促进ESCC的进展^[17]。circRNA has_circ_0006168可通过调节miR-194-5p/JMJD1C轴而增强ESCC对紫杉醇的抗性^[18]。hsa_circ_0000700通过作为miR-1229的分子海绵促进ESCC细胞的增殖和迁移^[19-20]。

本研究通过GEO数据库分析了ESCC组织和其相应癌旁组织中差异表达的circRNA,并以qPCR法验证,结果发现hsa_circ_0087378、hsa_circ_0023984、hsa_circ_0000277、hsa_circ_0055038在ESCC组织中呈高表达,其中hsa_circ_0087378表达水平最高。随后采用FISH法检测了hsa_circ_0087378在90例中国人ESCC组织及其相应的癌旁组织中的表达,发现其

在ESCC组织中的表达明显高于其相应的癌旁组织，并且其表达与ESCC患者的临床分期及淋巴结转移具有明显关联。此外，生存分析结果表明，hsa_circ_0087378的高表达与ESCC患者的5年总生存率较差有关联，其可作为ESCC患者预后不良的指标。以上结果表明，hsa_circ_0087378可能在ESCC进展中发挥了促癌作用，推动了ESCC的发展进程。

表1 ESCC组织中 hsa_circ_0087378 表达与
ESCC患者临床指标的关系

临床指标	hsa_circ_0087378		χ^2	P
	低	高		
年龄/岁				
<60	8	22	0.028	0.868
≥60	17	43		
性别				
男	19	47	0.126	0.723
女	6	18		
病理分期				
I~II	18	27	6.702	0.010
III~IV	7	38		
淋巴结转移				
是	8	40	6.330	0.012
否	17	25		

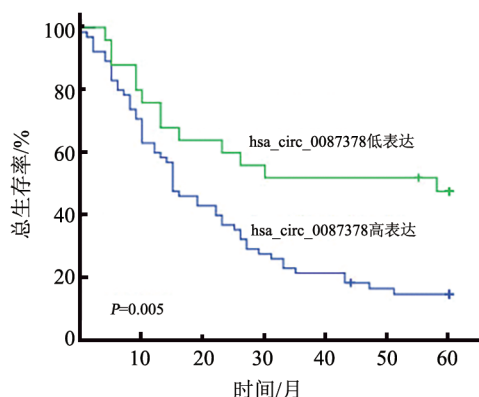


图3 hsa_circ_0087378的表达与ESCC患者
5年总生存率的关系

综上，本研究为寻找ESCC的新型肿瘤生物标志物和潜在治疗靶点提供了实验依据。然而，hsa_circ_0087378在ESCC中发挥作用的具体分子机制仍不明确，需要今后深入研究。

参考文献

- BRAY F, FERLAY J, SOERJOMATARAM I, et al. Global cancer statistics 2018: GLOBOCAN estimates of incidence and mortality worldwide for 36 cancers in 185 countries[J]. CA Cancer J Clin, 2018, 68(6): 394-424. DOI:10.3322/caac.21492.
- ABNET C C, ARNOLD M, WEI W Q. Epidemiology of esophageal squamous cell carcinoma[J]. Gastroenterology, 2018, 154(2): 360-373. DOI:10.1053/j.gastro.2017.08.023.
- PENNATHUR A, GIBSON M K, JOBE B A, et al. Oesophageal carcinoma[J]. Lancet, 2013, 381(9864): 400-412. DOI: 10.1016/S0140-6736(12)60643-6.
- WU Q F, WANG Y, CAO M J, et al. Homology-independent discovery of replicating pathogenic circular RNAs by deep sequencing and a new computational algorithm[J]. Proc Natl Acad Sci USA, 2012, 109(10): 3938-3943. DOI:10.1073/pnas.1117815109.
- JECK W R, SHARPLESS N E. Detecting and characterizing circular RNAs[J]. Nat Biotechnol, 2014, 32(5): 453-461. DOI: 10.1038/nbt.2890.
- JECK W R, SORRENTINO J A, WANG K, et al. Circular RNAs are abundant, conserved, and associated with ALU repeats[J]. RNA, 2013, 19(2): 141-157. DOI:10.1261/rna.035667.112.
- LEDFORD H. Circular RNAs throw genetics for a loop[J/OL]. Nature, 2013, 494(7438): 415[2021-09-18]. https://pubmed.ncbi.nlm.nih.gov/23446397/. DOI:10.1038/494415a.
- ZHANG Y, CHEN Y, WAN Y, et al. Circular RNAs in the regulation of oxidative stress[J/OL]. Front Pharmacol, 2021, 12: 697903 [2021-09-18]. https://pubmed.ncbi.nlm.nih.gov/34385919/. DOI:10.3389/fphar.2021.697903.
- MA Y L, ZHENG L W, GAO Y Y, et al. A comprehensive overview of circRNAs: emerging biomarkers and potential therapeutics in gynecological cancers[J/OL]. Front Cell Dev Biol, 2021, 9: 709512 [2021-09-18]. https://pubmed.ncbi.nlm.nih.gov/34368160/. DOI: 10.3389/fcell.2021.709512.
- JI X Y, SUN W, LV C Z, et al. Circular RNAs regulate glucose metabolism in cancer cells[J]. Onco Targets Ther, 2021, 14: 4005-4021. DOI:10.2147/OTT.S316597.
- SOLÉ C, MENTXAKA G, LAWRIE C H. The use of circRNAs as biomarkers of cancer[J]. Methods Mol Biol, 2021, 2348: 307-341. DOI:10.1007/978-1-0716-1581-2_21.
- LIU S S, LI Q Y, MA Y, et al. Circular RNAs as novel potential biomarkers for pancreatic cancer[J]. J Cancer, 2021, 12(15): 4604-4615. DOI:10.7150/jca.58640.
- FAN L Y, CAO Q, LIU J, et al. Circular RNA profiling and its potential for esophageal squamous cell cancer diagnosis and prognosis[J/OL]. Mol Cancer, 2019, 18(1): 16 [2021-09-18]. https://pubmed.ncbi.nlm.nih.gov/30674324/. DOI: 10.1186/s12943-018-0936-4.
- JIANG C, XU D F, YOU Z B, et al. Dysregulated circRNAs and CeRNA network in esophageal squamous cell carcinoma[J]. Front Biosci (Landmark Ed), 2019, 24(2): 277-290. DOI:10.2741/4717.
- SHI P Y, SUN J, HE B Y, et al. Profiles of differentially expressed circRNAs in esophageal and breast cancer[J]. Cancer Manag Res, 2018, 10: 2207-2221. DOI:10.2147/CMAR.S167863.
- FENG Q Q, ZHANG H L, YAO D L, et al. Emerging role of non-coding RNAs in esophageal squamous cell carcinoma[J/OL]. Int J Mol Sci, 2019, 21(1): 258 [2021-09-18]. https://pubmed.ncbi.nlm.nih.gov/31905958/. DOI:10.3390/ijms21010258.
- ZHOU P L, WU Z Y, ZHANG W G, et al. Circular RNA hsa_circ_0000277 sequesters miR-4766-5p to upregulate LAMA1 and promote esophageal carcinoma progression[J/OL]. Cell Death Dis,



- 2021, 12(7): 676 [2021-09-18]. <https://pubmed.ncbi.nlm.nih.gov/34226522/>. DOI:10.1038/s41419-021-03911-5.
- [18] QU F Y, WANG L N, WANG C Y, et al. Circular RNA circ_0006168 enhances Taxol resistance in esophageal squamous cell carcinoma by regulating miR-194-5p/JMJD1C axis[J/OL]. *Cancer Cell Int*, 2021, 21(1): 273 [2021-09-18]. <https://pubmed.ncbi.nlm.nih.gov/34022910/>. DOI:10.1186/s12935-021-01984-y.
- [19] FANG J, JI W H, WANG F Z, et al. Circular RNA hsa_circ_0000700 promotes cell proliferation and migration in esophageal squamous cell carcinoma by sponging miR-1229[J]. *J Cancer*, 2021, 12(9): 2610-2623. DOI:10.7150/jca.47112.
- [20] HU X T, WU D G, HE X T, et al. circGSK3 β promotes metastasis in esophageal squamous cell carcinoma by augmenting β -catenin signaling[J/OL]. *Mol Cancer*, 2019, 18(1): 160 [2021-09-18]. <https://pubmed.ncbi.nlm.nih.gov/31722716/>. DOI: 10.1186/s12943-019-1095-y.

[收稿日期] 2021-10-28

[修回日期] 2022-04-04

[本文编辑] 向正华, 沈志超

